

УДК 539.3:534.2

**КОЛЕБАНИЯ ТОНКОСТЕННОЙ УПРУГОЙ КОНСТРУКЦИИ ИЗ  
НЕЗАМКНУТЫХ ОРТОТРОПНЫХ ЦИЛИНДРИЧЕСКИХ ОБОЛОЧЕК  
СО СВОБОДНЫМИ ГРАНИЧНЫМИ ОБРАЗУЮЩИМИ**

**Գլղազարյան Գ.Ր., Տրապիոնյան Ժ.Լ.**

**Ключевые слова:** колебания, оболочечная конструкция, классическая, граничные образующие.

**Keywords:** vibrations, shell–structure, classical, boundary generators.

**Գ. Ռ. Դղղազարյան, Զ.Լ. Մրապիոնյան**

**Օրթոտրոպ առաձգական բաց զլանային թաղանթներից կազմված ազատ եզրային ծնիչներով  
բարակապատ կառուցվածքի տատանումները**

Հետազոտված են միատեսակ օրթոտրոպ բաց անվերջ շրջանային զլանային թաղանթներից կազմված բարակապատ կառուցվածքի սեփական տատանումները, երբ եզրային ծնիչներն ազատ են և միատեսակ օրթոտրոպ բաց վերջավոր շրջանային զլանային թաղանթներից կազմված բարակապատ կառուցվածքի սեփական տատանումները, երբ եզրային ծնիչներն ազատ են, իսկ եզրային ուղղորդ կորերը հողակապորեն ամրակցված: Նշված բարակապատ կառուցվածքների համար, ստացված են դիսպերսիոն հավասարումներ և ասիմպտոտիկ բանաձևեր, որոնցով որոշվում են հնարավոր սեփական տատանումների հաճախությունները:

**G. R. Ghulghazaryan, Dj.L. Srapionyan**

**Vibrations of a thin-shell structure constructed from orthotropic elastic non-closed  
cylindrical shells with free boundary generators**

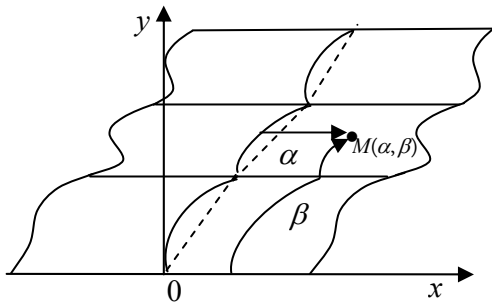
The problems of existence of natural vibrations of an elastic orthotropic thin-shell structure constructed from circular non-closed infinite cylindrical shells with free boundary generators and an elastic orthotropic thin-shell structure constructed from circular non-closed finite cylindrical shells with free boundary generators, which have a Navier's hinge on the boundary directional curves, are studied. The dispersion equations and asymptotic formulas are obtained for determining the natural frequencies of possible vibration types for the foregoing thin-shell structures.

Исследованы вопросы существования собственных колебаний тонкостенной упругой конструкции оболочечного типа, составленной из одинаковых ортотропных незамкнутых круговых бесконечных цилиндрических оболочек со свободными граничными образующими, и оболочечной конструкции, составленной из одинаковых ортотропных незамкнутых круговых конечных цилиндрических оболочек со свободными граничными образующими при наличии шарнирного закрепления Навье на граничных направляющих. Для вышеуказанных оболочечных конструкций получены дисперсионные уравнения и асимптотические формулы для нахождения собственных частот возможных типов колебаний.

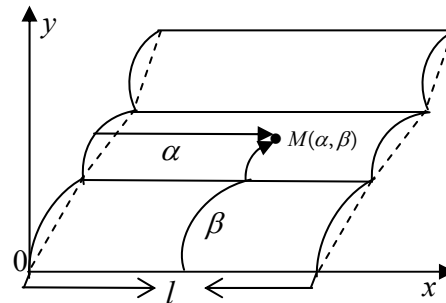
Известно, что волны в тонкостенной упругой оболочечной конструкции распространяются в виде преимущественно изгибных и преимущественно тангенциальных волн [1-4]. У свободного края тонкостенной упругой конструкции оболочечного типа происходят трансформации одного типа волнового движения в другой. При трансформации волн, с учетом геометрических и механических параметров оболочечной конструкции со свободным краем, возникают сложные картины распределения частот собственных колебаний [5-7].

Используя полученные ниже дисперсионные уравнения и асимптотические формулы для этих дисперсионных уравнений, можно, меняя геометрию конструкции и механические свойства материала, управлять спектром, смещая или начало спектра или точки сгущения из нежелательной области резонанса.

**1. Основные уравнения и постановка краевых задач.** Предполагается, что образующие ортогональны краям тонкостенной оболочечной конструкции. На срединной поверхности оболочечной конструкции вводятся криволинейные координаты  $(\alpha, \beta)$  ( $-\infty < \alpha < \infty$ , если составляющие цилиндрической оболочки бесконечны;  $0 \leq \alpha \leq l$ , если цилиндрические оболочки имеют длину  $l$  и  $0 \leq \beta \leq \beta_0$ ), являющиеся, соответственно, длиной образующей и длиной дуги направляющей кривой (фиг. 1 и 2). Обозначим через  $s$  длину одной арки цилиндрической оболочки срединной поверхности. В частности, при  $\beta_0 = s$  имеем цилиндрическую оболочку открытого профиля.



Фиг. 1#



Фиг. 2#

Заметим, что в данной работе фактически рассматриваются цилиндрические оболочки, направляющие срединной поверхности которых представляют собой непрерывную незамкнутую кусочно-гладкую кривую. На линиях раздела цилиндрических оболочек кривизна направляющей кривой срединной поверхности имеет устранимые особенности. Строгое использование системы уравнений соответствующей классической теории ортотропных цилиндрических оболочек связано с введением промежуточных сопрягающих элементов, обеспечивающих непрерывность перемещений вектора точки срединной поверхности. Однако выполнение таких строгих сопряжений связано с произволом при задании вида сопрягающего элемента, что существенно усложняет расчеты, особенно при исследовании конструкций, состоящих из большого числа цилиндрических оболочек (см. [8], стр. 56). Исходя из этого, здесь, вместо введения сопрягающих элементов, кривизна направляющей кривой цилиндрической оболочки заменяется соответствующим рядом Фурье с периодом  $s$  и применяются динамические уравнения классической теории ортотропных цилиндрических оболочек [4,9,10]. Итак, в качестве исходных уравнений, описывающих колебания тонкостенной конструкции вышеуказанного типа, используются уравнения, которые соответствуют классической теории ортотропных цилиндрических оболочек и записаны в выбранных криволинейных координатах  $\alpha, \beta$  [11]:

$$-B_{11} \frac{\partial^2 u_1}{\partial \alpha^2} - B_{66} \frac{\partial^2 u_1}{\partial \beta^2} - (B_{12} + B_{66}) \frac{\partial^2 u_2}{\partial \alpha \partial \beta} + \frac{B_{12}}{R} \frac{\partial u_3}{\partial \alpha} = \lambda u_1,$$

$$\begin{aligned}
& -(B_{12} + B_{66}) \frac{\partial^2 u_1}{\partial \alpha \partial \beta} - B_{66} \frac{\partial^2 u_2}{\partial \alpha^2} - B_{22} \frac{\partial^2 u_2}{\partial \beta^2} + B_{22} \frac{\partial}{\partial \beta} \left( \frac{u_3}{R} \right) - \frac{\mu^4}{R} \left( 4B_{66} \frac{\partial^2}{\partial \alpha^2} \left( \frac{u_2}{R} \right) + \right. \\
& \left. + B_{22} \frac{\partial^2}{\partial \beta^2} \left( \frac{u_2}{R} \right) \right) - \frac{\mu^4}{R} \left( B_{22} \frac{\partial^3 u_3}{\partial \beta^3} + (B_{12} + 4B_{66}) \frac{\partial^3 u_3}{\partial \beta \partial \alpha^2} \right) = \lambda u_2, \quad (1.1) \\
& \mu^4 \left( B_{11} \frac{\partial^4 u_3}{\partial \alpha^4} + 2(B_{12} + 2B_{66}) \frac{\partial^4 u_3}{\partial \alpha^2 \partial \beta^2} + B_{22} \frac{\partial^4 u_3}{\partial \beta^4} \right) + \mu^4 \left( B_{22} \frac{\partial^3}{\partial \beta^3} \left( \frac{u_2}{R} \right) + \right. \\
& \left. + (B_{12} + 4B_{66}) \frac{\partial^3}{\partial \beta \partial \alpha^2} \left( \frac{u_2}{R} \right) \right) - \frac{B_{12}}{R} \frac{\partial u_1}{\partial \alpha} - \frac{B_{22}}{R} \frac{\partial u_2}{\partial \beta} + \frac{B_{22}}{R^2} u_3 = \lambda u_3.
\end{aligned}$$

Здесь  $u_1, u_2, u_3$  – проекции вектора смещений, соответственно в направлениях  $\alpha, \beta$  и нормали к поверхности оболочки,  $R^{-1} = R^{-1}(\beta)$  – кривизна направляющей кривой срединной поверхности,  $\mu^4 = h^2/12$  ( $h$  – толщина оболочки).  $\lambda = \omega^2 \rho$ , где  $\omega$  – угловая частота собственных колебаний,  $\rho$  – плотность материала.  $B_{ij}$  – коэффициенты упругости.

Ряд Фурье кривизны направляющей кривой срединной поверхности такой оболочечной конструкции имеет постоянную сумму  $R^{-1}$  при  $-\infty < \beta < \infty$ , где  $R$  – радиус составляющих цилиндрических оболочек срединной поверхности. Обозначим  $k = 2\pi n_0 / l$ ,  $n_0 \in N$ , если конструкция составлена из одинаковых ортотропных незамкнутых круговых бесконечных цилиндрических оболочек, где  $l$  – произвольное положительное число, или  $k = \pi / l$ , если составляющие цилиндрической оболочки имеют длину  $l$  и  $R^{-1} = kr_0/2$ , где  $r_0$  – безразмерный параметр. Рассматриваются следующие граничные условия:

$$\begin{aligned}
& \frac{B_{12}}{B_{22}} \frac{\partial u_1}{\partial \alpha} + \frac{\partial u_2}{\partial \beta} - \frac{u_3}{R} \Big|_{\beta=0, \beta_0} = \frac{B_{12}}{B_{22}} \frac{\partial^2 u_3}{\partial \alpha^2} + \frac{\partial^2 u_3}{\partial \beta^2} + \frac{1}{R} \frac{\partial u_2}{\partial \beta} \Big|_{\beta=0, \beta_0} = 0, \quad (1.2) \\
& \frac{\partial u_2}{\partial \alpha} + \frac{\partial u_1}{\partial \beta} \Big|_{\beta=0, \beta_0} = \frac{\partial^3 u_3}{\partial \beta^3} + \frac{B_{12} + 4B_{66}}{B_{22}} \frac{\partial^3 u_3}{\partial \beta \partial \alpha^2} + \frac{1}{R} \left( \frac{\partial^2 u_2}{\partial \beta^2} + \frac{4B_{66}}{B_{22}} \frac{\partial^2 u_2}{\partial \alpha^2} \right) \Big|_{\beta=0, \beta_0} = 0; \\
& u_i(\alpha + 2\pi/k, \beta) = u_i(\alpha, \beta), \quad i = \overline{1, 3}. \quad (1.3)
\end{aligned}$$

$$\frac{\partial u_1}{\partial \alpha} + \frac{B_{12}}{B_{11}} \left( \frac{\partial u_2}{\partial \beta} - \frac{u_3}{R} \right) \Big|_{\alpha=0, l} = u_2 \Big|_{\alpha=0, l} = u_3 \Big|_{\alpha=0, l} = \frac{\partial^2 u_3}{\partial \alpha^2} + \frac{B_{12}}{B_{11}} \left( \frac{\partial^2 u_3}{\partial \beta^2} + \frac{1}{R} \frac{\partial u_2}{\partial \beta} \right) \Big|_{\alpha=0, l} = 0. \quad (1.4)$$

Граничные условия (1.2)-(1.3) соответствуют конструкции оболочечного типа, составленной из ортотропных одинаковых незамкнутых круговых бесконечных цилиндрических оболочек: соотношения (1.2) выражают условия свободного края при  $\beta = 0$ ,  $\beta = \beta_0$ , а соотношения (1.3) – условия волнообразности колебания, где  $k = 2\pi n_0 / l$ ,  $n_0 \in N$ ,  $l > 0$  (фиг. 1). Граничные условия (1.2), (1.4) соответствуют конструкции оболочечного типа, составленной из ортотропных одинаковых незамкнутых круговых конечных цилиндрических оболочек: соотношения (1.4) являются условиями шарнирного закрепления по граничным направляющим  $\alpha = 0$  и  $\alpha = l$ , где  $k = \pi / l$  (фиг. 2).

Можно доказать, что задачи (1.1)-(1.3); (1.1)-(1.2),(1.4) самосопряженные и имеют неотрицательный дискретный спектр с предельной точкой на  $+\infty$  [12, с.362].

**2. Вывод и анализ характеристических уравнений.** В первом, втором и третьем уравнениях системы (1.1) (при постоянной кривизне,  $R^{-1}$ ), спектральный параметр  $\lambda$  формально заменим на  $\lambda_1, \lambda_2, \lambda_3$  соответственно.

Решение системы (1.1) (с вышеуказанными изменениями) ищем в виде

$$(u_1, u_2, u_3) = (u_{cn} \cos kn\alpha, v_{sn} \sin kn\alpha, \sin kn\alpha) \exp(k\chi\beta), \quad n = \overline{1, +\infty}, \quad (2.1)$$

где  $n$  – волновое число,  $u_{cn}, v_{sn}$  – неопределенные коэффициенты и  $\chi$  – неопределенный коэффициент затухания. При этом условия (1.3) и (1.4) выполняются автоматически и поставленные задачи решаются аналогичным образом, придавая параметру  $k$  разные значения. Подставляя (2.1) в (1.1), получим [4]

$$(c_n + \frac{r_0^2}{4} a^2 g_n d_n) u_{cn} = \frac{r_0 n}{2} \left\{ a_n + a^2 \frac{B_{22}(B_{12} + B_{66})}{B_{11}B_{66}} \chi^2 l_n + \frac{r_0^2}{4} a^2 \frac{B_{22}B_{12}}{B_{11}B_{66}} d_n \right\} \quad (2.2)$$

$$(c_n + \frac{r_0^2}{4} a^2 g_n d_n) v_{sn} = \frac{r_0 \chi}{2} \{ b_n - a^2 g_n l_n \} \quad (2.3)$$

$$R_{nn} c_n + \frac{r_0^2}{4} \left\{ c_n - b_n \chi^2 + \frac{B_{12}}{B_{22}} n^2 a_n + a^2 (R_{nn} g_n d_n + 2\chi^2 l_n b_n) + \frac{r_0^2}{4} a^2 d_n (b_n - \frac{B_{12}}{B_{11}} n^2) - a^4 \chi^2 g_n l_n^2 \right\} = 0 \quad (2.4)$$

$$a_n = - \left( \frac{B_{22}}{B_{11}} \chi^2 + \frac{B_{12}}{B_{11}} n^2 - \frac{B_{12}}{B_{11}} \eta_2^2 \right), \quad b_n = \frac{B_{22}}{B_{11}} \chi^2 - B_1 n^2 + \frac{B_{22}}{B_{11}} \eta_1^2$$

$$c_n = \frac{B_{22}}{B_{11}} \chi^4 - B_2 n^2 \chi^2 + \left( \frac{B_{22}}{B_{11}} \eta_1^2 + \frac{B_{66}}{B_{11}} \eta_2^2 \right) \chi^2 + \left( n^2 - \frac{B_{66}}{B_{11}} \eta_1^2 \right) (n^2 - \eta_2^2)$$

$$B_1 = \frac{B_{11}B_{22} - B_{12}^2 - B_{12}B_{66}}{B_{11}B_{66}}, \quad B_2 = \frac{B_{11}B_{22} - B_{12}^2 - 2B_{12}B_{66}}{B_{11}B_{66}}, \quad d_n = \chi^2 - \frac{4B_{66}}{B_{11}} n^2$$

$$g_n = \frac{B_{22}}{B_{11}} \chi^2 - \frac{B_{22}}{B_{66}} n^2 + \frac{B_{22}}{B_{11}} \eta_1^2, \quad l_n = \chi^2 - \frac{B_{12} + 4B_{66}}{B_{22}} n^2, \quad a^2 = \mu^4 k^2 \quad (2.5)$$

$$R_{nn} = a^2 \left( \chi^4 - \frac{2(B_{12} + 2B_{66})n^2}{B_{22}} \chi^2 + \frac{B_{11}}{B_{22}} n^4 \right) - \frac{B_{66}}{B_{22}} \eta_3^2, \quad \eta_i^2 = \frac{\lambda_i}{B_{66}k^2}, \quad i = \overline{1, 3}$$

Пусть  $\chi_j, j = \overline{1, 4}$  – попарно различные нули уравнения (2.4) с неположительными действительными частями, тогда  $\chi_5 = -\chi_1, \chi_6 = -\chi_2, \chi_7 = -\chi_3, \chi_8 = -\chi_4$  – также попарно различные нули этого уравнения. Пусть  $(u_1^{(j)}, u_2^{(j)}, u_3^{(j)}), j = \overline{1, 8}$  – нетривиальные решения вида (2.1) системы (1.1) при  $\chi = \chi_j, j = \overline{1, 8}$ , соответственно. Представляя решение задач (1.1)-(1.3) и (1.1)-(1.2),(1.4) в виде

$$u_i = \sum_{j=1}^8 w_j u_i^{(j)}, \quad i = \overline{1,3}$$

и учитывая граничные условия (1.2), получим систему уравнений

$$\sum_{j=1}^8 \frac{M_{ij}^{(n)} w_j}{c_n^{(j)} + 0.25 a^2 r_0^2 g_n^{(j)} d_n^{(j)}} = 0, \quad i = \overline{1,8}, \quad (2.6)$$

$$M_{1j}^{(n)} = \frac{B_{12}}{B_{22}} n^2 a_n^{(j)} + \chi_j^2 b_n^{(j)} - c_n^{(j)} - \frac{r_0^2}{4} a^2 d_n^{(j)} (b_n^{(j)} - \frac{B_{12}}{B_{11}} n^2) - a^2 \chi_j^2 l_n^{(j)} b_n^{(j)}$$

$$M_{2j}^{(n)} = -\chi_j \left\{ a_n^{(j)} + b_n^{(j)} + a^2 l_n^{(j)} \left( \frac{B_{12} B_{22}}{B_{11} B_{66}} \chi_j^2 + \frac{B_{22}}{B_{66}} n^2 - \frac{B_{22}}{B_{11}} \eta_1^2 \right) + a^2 \frac{r_0^2}{4} \frac{B_{12} B_{22}}{B_{11} B_{66}} d_n^{(j)} \right\}$$

$$M_{3j}^{(n)} = \left( \chi_j^2 - \frac{B_{12}}{B_{22}} n^2 \right) c_n^{(j)} + \frac{r_0^2}{4} \left( \chi_j^2 b_n^{(j)} + \frac{4 B_{12} B_{66}}{B_{22}^2} a^2 n^4 g_n^{(j)} \right), \quad z_j = k \chi_j \beta_0 \quad (2.7)$$

$$M_{4j}^{(n)} = \chi_j \left\{ l_n^{(j)} c_n^{(j)} + \frac{r_0^2}{4} b_n^{(j)} d_n^{(j)} \right\}, \quad M_{ij}^{(n)} = M_{i-4j}^{(n)} \exp(z_j), \quad i = \overline{5,8}, \quad j = \overline{1,8}$$

Здесь индекс  $j$  означает, что соответствующая функция взята при  $\chi = \chi_j, j = \overline{1,8}$ . Чтобы система (2.6) имела нетривиальное решение, необходимо и достаточно, чтобы

$$\text{Det} \left\| M_{ij}^{(n)} \right\|_{i,j=1}^8 = 0. \quad (2.8)$$

Численный анализ показывает, что левая часть этого равенства становится малой, когда любые два  $\chi$ -корня уравнения (2.4) становятся близкими друг к другу. Это сильно усложняет расчеты и может привести к появлению ложных решений. Оказывается, что множитель, в левой части равенства (2.8), стремящийся к нулю при сближении корней, можно выделить. Для этого введем обозначения:

$$\chi_j = \chi_j / n, \quad j = \overline{1,8}; \quad \eta_{im} = \eta_i / n, \quad i = \overline{1,3}; \quad \varepsilon_n = r_0 / (2n),$$

$$[z_i z_j] = (\exp(z_i) - \exp(z_j)) / (z_i - z_j) k n \beta_0, \quad [z_i z_j z_k] = ([z_i z_j] - [z_i z_k]) / (z_j - z_k) k n \beta_0$$

$$[z_1 z_2 z_3 z_4] = ([z_1 z_2 z_3] - [z_1 z_2 z_4]) / (z_3 - z_4) k n \beta_0, \quad \sigma_1 = \sigma_1(x_1, x_2, x_3, x_4) = x_1 + x_2 + x_3 + x_4$$

$$\sigma_2 = \sigma_2(x_1, x_2, x_3, x_4) = x_1 x_2 + x_1 x_3 + x_1 x_4 + x_2 x_3 + x_2 x_4 + x_3 x_4$$

$$\sigma_3 = \sigma_3(x_1, x_2, x_3, x_4) = x_1 x_2 x_3 + x_1 x_2 x_4 + x_1 x_3 x_4 + x_2 x_3 x_4 \quad (2.9)$$

$$\sigma_4 = \sigma_4(x_1, x_2, x_3, x_4) = x_1 x_2 x_3 x_4, \quad \bar{\sigma}_k = \sigma_k(x_1, x_2, x_3, 0), \quad \bar{\bar{\sigma}}_k = \sigma_k(x_1, x_2, 0, 0), \quad k = \overline{1,4}$$

При этом  $\bar{\sigma}_4 = \bar{\bar{\sigma}}_4 = \bar{\bar{\sigma}}_3 = 0$ . Пусть  $f_m, m = \overline{1,6}$  является симметрическим многочленом  $m$ -ой степени от переменных  $x_1, x_2, x_3, x_4$ . Известно, что он выражается через элементарные симметрические многочлены единственным образом. Обозначая

$$f_m = f_m(\sigma_1, \sigma_2, \sigma_3, \sigma_4), \quad \bar{f}_m = f_m(\bar{\sigma}_1, \bar{\sigma}_2, \bar{\sigma}_3, 0), \quad \bar{\bar{f}}_m = f_m(\bar{\bar{\sigma}}_1, \bar{\bar{\sigma}}_2, 0, 0), \quad m = \overline{1,6}$$

$$f_1 = \sigma_1, \quad f_2 = \sigma_1^2 - \sigma_2, \quad f_3 = \sigma_1^3 - 2\sigma_1 \sigma_2 + \sigma_3, \quad f_4 = \sigma_1^4 - 3\sigma_1^2 \sigma_2 + \sigma_2^2 + 2\sigma_1 \sigma_3 - \sigma_4 \quad (2.10)$$

$$\bar{f}_5 = \bar{\sigma}_1^5 - 4\bar{\sigma}_1^3\bar{\sigma}_2 + 3\bar{\sigma}_1\bar{\sigma}_2^2 + 3\bar{\sigma}_1^2\bar{\sigma}_3 - 2\bar{\sigma}_2\bar{\sigma}_3, \quad \bar{f}_6 = \bar{\sigma}_1^6 - 5\bar{\sigma}_1^4\bar{\sigma}_2 + 6\bar{\sigma}_1^2\bar{\sigma}_2^2 - \bar{\sigma}_3^3$$

и выполняя элементарные действия над столбцами определителя (2.8), получим

$$\text{Det}\|M_{ij}^{(n)}\|_{i,j=1}^8 = n^{40} K^2 \exp(-z_1 - z_2 - z_3 - z_4) \text{Det}\|m_{ij}\|_{i,j=1}^8 \quad (2.11)$$

$$K = (x_1 - x_2)(x_1 - x_3)(x_1 - x_4)(x_2 - x_3)(x_2 - x_4)(x_3 - x_4)$$

$$m_{11} = Hx_1^6 + d_1x_1^4 + d_2x_1^2 + d_3, \quad m_{12} = H\bar{f}_5 + d_1\bar{f}_3 + d_2\bar{f}_1, \quad m_{13} = H\bar{f}_4 + d_1\bar{f}_2 + d_2$$

$$m_{14} = Hf_3 + d_1f_1; \quad m_{21} = Tx_1^5 + d_4x_1^3 + d_5x_1, \quad m_{22} = T\bar{f}_4 + d_4\bar{f}_2 + d_5, \quad m_{23} = T\bar{f}_3 + d_4\bar{f}_1$$

$$m_{24} = Tf_2 + d_4; \quad m_{31} = Fx_1^6 + d_6x_1^4 + d_7x_1^2 + d_8, \quad m_{32} = F\bar{f}_5 + d_6\bar{f}_3 + d_7\bar{f}_1$$

$$m_{33} = F\bar{f}_4 + d_6\bar{f}_2 + d_7, \quad m_{34} = Ff_3 + d_6f_1; \quad m_{41} = Fx_1^7 + d_9x_1^5 + d_{10}x_1^3 + d_{11}x_1$$

$$m_{42} = F\bar{f}_6 + d_9\bar{f}_4 + d_{10}\bar{f}_2 + d_{11}, \quad m_{43} = F\bar{f}_5 + d_9\bar{f}_3 + d_{10}\bar{f}_1, \quad m_{44} = Ff_4 + d_9f_2 + d_{10}$$

$$m_{75} = (-1)^{i+1} m_{71} \exp(\epsilon_1), \quad m_{78} = (-1)^{i+1} (m_{74} \exp(\epsilon_4) + m_{73}[z_3z_4] + m_{72}[z_2z_3z_4] + m_{71}[z_1z_2z_3z_4])$$

$$m_{76} = (-1)^{i+1} (m_{72} \exp(\epsilon_2) + m_{71}[z_1z_2]), \quad m_{77} = (-1)^{i+1} (m_{73} \exp(\epsilon_3) + m_{72}[z_2z_3] + m_{71}[z_1z_2z_3])$$

$$m_{ij} = m_{i-4j+4}, \quad m_{i,j+4} = m_{i-4j}, \quad i = \overline{5,8}, \quad j = \overline{1,4}$$

$$d_1 = a^2 n^2 \left( B_1 + \frac{B_{12} + 4B_{66}}{B_{11}} - \frac{B_{22}}{B_{11}} \eta_{1n}^2 - \varepsilon_n^2 \frac{B_{22}}{B_{11}} \right) \quad (2.12)$$

$$d_2 = a^2 n^2 \varepsilon_n^2 \left( B_1 + \frac{B_{12} + 4B_{66}}{B_{11}} - \frac{B_{22}}{B_{11}} \eta_{1n}^2 \right) - \frac{B_{66}}{B_{11}} \eta_{2n}^2 - a^2 n^2 \frac{B_{12} + 4B_{66}}{B_{22}} \left( B_1 - \frac{B_{22}}{B_{11}} \eta_{1n}^2 \right)$$

$$d_3 = -(1 - \eta_{2n}^2 + 4a^2 n^2 \varepsilon_n^2) \left( \frac{B_{11}B_{22} - B_{12}^2}{B_{11}B_{22}} - \frac{B_{66}}{B_{11}} \eta_{1n}^2 \right), \quad d_4 = a^2 n^2 \left( \frac{2B_{12}}{B_{11}} - B_2 + \frac{B_{22}}{B_{11}} \eta_{1n}^2 - \varepsilon_n^2 \frac{B_{22}B_{12}}{B_{11}B_{66}} \right)$$

$$d_5 = 4a^2 n^2 \varepsilon_n^2 \frac{B_{12}}{B_{11}} - \frac{B_{12}}{B_{11}} \eta_{2n}^2 + a^2 n^2 \frac{B_{12} + 4B_{66}}{B_{22}} \left( \frac{B_{22}}{B_{66}} - \frac{B_{22}}{B_{11}} \eta_{1n}^2 \right) + \frac{B_{11}B_{22} - B_{12}^2}{B_{11}B_{66}} - \frac{B_{22}}{B_{11}} \eta_{1n}^2$$

$$d_6 = \frac{B_{22}}{B_{11}} \varepsilon_n^2 - B_1 + \frac{B_{22}}{B_{11}} \eta_{1n}^2 + \frac{B_{66}}{B_{11}} \eta_{2n}^2$$

$$d_7 = (1 - \eta_{2n}^2) \left( 1 - \frac{B_{66}}{B_{11}} \eta_{1n}^2 \right) + \frac{B_{12}}{B_{22}} \left( B_2 - \frac{B_{22}}{B_{11}} \eta_{1n}^2 - \frac{B_{66}}{B_{11}} \eta_{2n}^2 \right) + \varepsilon_n^2 \left( 4a^2 n^2 \frac{B_{12}B_{66}}{B_{11}B_{22}} - B_1 + \frac{B_{22}}{B_{11}} \eta_{1n}^2 \right)$$

$$d_8 = \frac{B_{12}}{B_{22}} \left( 1 - \frac{B_{66}}{B_{11}} \eta_{1n}^2 \right) (1 - \eta_{2n}^2 + 4a^2 n^2 \varepsilon_n^2), \quad d_9 = \frac{B_{22}}{B_{11}} \varepsilon_n^2 - B_1 - \frac{4B_{66}}{B_{11}} + \frac{B_{22}}{B_{11}} \eta_{1n}^2 + \frac{B_{66}}{B_{11}} \eta_{2n}^2$$

$$d_{10} = (1 - \eta_{2n}^2) \left( 1 - \frac{B_{66}}{B_{11}} \eta_{1n}^2 \right) + \frac{B_{12} + 4B_{66}}{B_{22}} \left( B_2 - \frac{B_{22}}{B_{11}} \eta_{1n}^2 - \frac{B_{66}}{B_{11}} \eta_{2n}^2 \right) - \varepsilon_n^2 \left( B_1 + \frac{4B_{66}}{B_{11}} - \frac{B_{22}}{B_{11}} \eta_{1n}^2 \right)$$

$$d_{11} = 4\varepsilon_n^2 \left( B_1 - \frac{B_{66}}{B_{11}} \eta_{1n}^2 \right) - \frac{B_{12} + 4B_{66}}{B_{22}} (1 - \eta_{2n}^2) \left( 1 - \frac{B_{66}}{B_{11}} \eta_{1n}^2 \right)$$

Уравнение (2.8) эквивалентно уравнению

$$\text{Det} \|m_{ij}\|_{i,j=1}^8 = 0. \quad (2.13)$$

Учитывая возможные соотношения между  $\lambda_1, \lambda_2$  и  $\lambda_3$ , уравнение (2.13) определяет частоты соответствующих типов колебаний.

**Замечание 1.** При  $\lambda_1 = \lambda_2 = \lambda_3 = \lambda$  уравнение (2.4) является характеристическим уравнением для системы (1.1), а уравнение (2.13) при  $k = 2\pi n_0/l$ ,  $n_0 \in N$  является дисперсионным уравнением задачи (1.1)-(1.3), а при  $k = \pi/l$  – дисперсионным уравнением задачи (1.1)-(1.2),(1.4), соответственно.

**3. Асимптотика дисперсионного уравнения (2.13) при  $r_0 \rightarrow 0$ .** При использовании предыдущих формул будем предполагать, что  $\eta_{1n} = \eta_{2n} = \eta_{3n} = \eta_n = \eta/n$ . Тогда при  $r_0 \rightarrow 0$  уравнение (2.4) преобразуется в совокупность уравнений

$$c_n = \frac{B_{22}}{B_{11}} \chi^4 - B_2 n^2 \chi^2 + \frac{B_{22} + B_{66}}{B_{11}} \eta^2 \chi^2 + \left( n^2 - \frac{B_{66}}{B_{11}} \eta^2 \right) (n^2 - \eta^2) = 0 \quad (3.1)$$

$$R_m = a^2 \left( \chi^4 - \frac{2(B_{12} + 2B_{66})n^2}{B_{22}} \chi^2 + \frac{B_{11}}{B_{22}} n^4 \right) - \frac{B_{66}}{B_{22}} \eta^2 = 0, \quad (3.2)$$

которые являются характеристическими уравнениями для уравнений планарных и изгибных колебаний пластины, соответственно [4,10]. Корни  $\chi/n$  уравнений (3.1) и (3.2) с неположительными действительными частями обозначим через  $y_1, y_2$  и  $y_3, y_4$ , соответственно. Заметим, что при

$$\varepsilon_n \ll 1, \quad y_i \neq y_j, \quad i \neq j \quad (3.3)$$

$x^2$  – корни уравнения (2.4) можно представить в виде [6]

$$x_i^2 = y_i^2 + \alpha_i^{(n)} \varepsilon_n^2 + \beta_i^{(n)} \varepsilon_n^4 + \dots, \quad i = \overline{1,4} \quad (3.4)$$

$$\alpha_i^{(n)} = P_n(y_i^2) / \left( \prod_{j=1, j \neq i}^4 (y_j^2 - y_i^2) \right), \quad i = \overline{1,4} \quad (3.5)$$

При условии (3.3), используя (2.7), (3.4) и тот факт, что

$$M_{31}^{(n)} / n^6 = M_{32}^{(n)} / n^6 = M_{41}^{(n)} / n^7 = M_{42}^{(n)} / n^7 = O(\varepsilon_n^2) \quad (3.6)$$

уравнение (2.13) приводится к виду

$$\text{Det} \|m_{ij}\|_{i,j=1}^8 = \left( \frac{B_{22}}{B_{11}} \right)^4 N^2(\eta_n) \{ \bar{F}_0(\eta_n) \bar{E}_0(\eta_n) K_{30}^2(\eta_n) + O(\varepsilon_n^2) \} = 0 \quad (3.7)$$

$$N(\eta_n) = (y_1 + y_3)(y_2 + y_3)(y_1 + y_4)(y_2 + y_4)$$

$$\begin{aligned}
\bar{F}_0(\eta_n) &= K_{10}^2(\eta_n)(1 + \exp(2(z_3 + z_4))) + 8m_{33}m_{44}m_{34}m_{43} \exp(z_3 + z_4) - \\
&- 4m_{33}m_{43}(m_{33}m_{44} + m_{34}m_{43})(\exp(z_4) - \exp(z_3))[z_3z_4] - \\
&- (m_{33}m_{44} + m_{34}m_{43})^2(\exp(2z_3) + \exp(2z_4)) - 4m_{33}^2m_{43}^2[z_3z_4]^2 \\
\bar{E}_0(\eta_n) &= K_{20}^2(\eta_n)(1 + \exp(2(z_1 + z_2))) + \frac{8B_{22}^2m_{11}m_{22}m_{12}m_{21}}{(B_{12} + B_{66})^2} \exp(z_1 + z_2) - \\
&- \frac{4B_{22}^2[m_{11}m_{21}(m_{11}m_{22} + m_{21}m_{12})]}{(B_{12} + B_{66})^2} (\exp(z_2) - \exp(z_1))[z_1z_2] - \\
&- \frac{B_{22}^2(m_{11}m_{22} + m_{12}m_{21})^2}{(B_{12} + B_{66})^2} (\exp(2z_1) + \exp(2z_2)) - \frac{4B_{22}^2m_{11}^2m_{21}^2}{(B_{12} + B_{66})^2} [z_1z_2]^2 \\
m_{11} &= y_1^2 + \frac{B_{12}}{B_{22}}(1 - \eta_n^2), \quad m_{12} = m_{34} = y_1 + y_2, \quad m_{21} = y_1^3 + \left(\frac{B_{12}}{B_{22}} + \frac{B_{66}}{B_{22}}\eta_n^2\right)y_1 \quad (3.8) \\
m_{22} &= y_1y_2 + B_1 - \eta_n^2, \quad m_{33} = y_3^2 - \frac{B_{12}}{B_{22}}, \quad m_{44} = y_3y_4 + \frac{B_{12}}{B_{22}} \\
m_{43} &= y_3^2 - \frac{B_{12} + 4B_{66}}{B_{22}}y_3, \quad K_{10}(\eta_n) = y_3^2y_4^2 + 4\frac{B_{66}}{B_{22}}y_3y_4 - \left(\frac{B_{12}}{B_{22}}\right)^2
\end{aligned}$$

$$\begin{aligned}
K_{20}(\eta_n) &= (1 - \eta_n^2) \left( \frac{B_{11}B_{22} - B_{12}^2}{B_{22}B_{66}} - \eta_n^2 y_1 y_2 \right), \quad K_{30}(\eta_n) = N_1(\eta_n) + \alpha^2 n^2 N_2(\eta_n) + \alpha^4 n^4 N_3(\eta_n) \\
N_1(\eta_n) &= \frac{B_{66}(B_{12} + B_{22})}{B_{11}^2} \eta_n^2 - \frac{B_{11}B_{22} - B_{12}^2}{B_{11}^2}, \quad N_2(\eta_n) = \left( \frac{B_{22}B_{12} + B_{12}B_{66} + B_{22}B_{66}}{B_{11}^2} \eta_n^2 - \right. \\
&- \frac{B_{11}B_{22}B_{12} + B_{11}B_{22}B_{66} - B_{12}^3 - 3B_{12}^2B_{66} - 4B_{12}B_{66}^2}{B_{66}B_{11}^2} \left. \left( \frac{B_{22} + B_{66}}{B_{22}} \eta_n^2 - \frac{B_{11}B_{22} - B_{12}^2 - 2B_{12}B_{66}}{B_{22}B_{66}} \right) \right) - \\
&- 2 \left( 1 - \frac{B_{66}}{B_{11}} \eta_n^2 \right) \left( \frac{2B_{12} + 4B_{66}}{B_{11}} - \frac{B_{12}}{B_{11}} \eta_n^2 \right), \quad N_3(\eta_n) = -\frac{B_{22}(B_{12} + B_{66})}{B_{11}B_{66}} \left( 1 - \frac{B_{66}}{B_{11}} \eta_n^2 \right) X \\
&X \left\{ (1 - \eta_n^2) \left( \frac{B_{11}}{B_{22}} - \frac{B_{66}}{B_{22}} \eta_n^2 \right) - \frac{B_{12} + 4B_{66}}{B_{22}} \left( \frac{B_{11}B_{22} - B_{12}^2 - 2B_{12}B_{66}}{B_{22}B_{66}} - \frac{B_{22} + B_{66}}{B_{22}} \eta_n^2 \right) + \left( \frac{B_{12} + 4B_{66}}{B_{22}} \right)^2 \right\}
\end{aligned}$$

Из (3.7) следует, что при  $\varepsilon_n \rightarrow 0$  уравнения (2.13) распадаются на уравнения

$$\bar{E}_0(\eta_n) = 0, \quad \bar{F}_0(\eta_n) = 0, \quad K_{30}(\eta_n) = 0 \quad (3.9)$$

Из них первые два – дисперсионные уравнения планарных и изгибных колебаний аналогичной задачи для ортотропной пластины-полосы со свободными краями ( $k = 2\pi n_0/l$ ) или прямоугольной пластинки со свободными противоположными сторонами, когда остальные стороны шарнирно закреплены ( $k = \pi/l$ ).



Корням третьего уравнения соответствуют планарные колебания оболочечной конструкции; оно появляется в результате использования уравнения соответствующей классической теории ортотропных цилиндрических оболочек.

Если  $y_1, y_2$  и  $y_3, y_4$  – корни уравнения (3.1) и (3.2) с отрицательными действительными частями соответственно, то при  $n\beta_0 \rightarrow \infty$  уравнение (2.13) преобразуется в уравнение

$$\text{Det} \|m_{ij}\|_{i,j=1}^8 = \left(\frac{B_{22}}{B_{11}}\right)^4 N^2(\eta_n) K_{10}^2(\eta_n) K_{20}^2(\eta_n) K_{30}^2(\eta_n) + O(\varepsilon_n^2) + \sum_{j=1}^4 O(\exp(z_j)) = 0, \quad (3.10)$$

из которого следует, что при  $\varepsilon_n \rightarrow 0$  и  $n\beta_0 \rightarrow \infty$  дисперсионное уравнение (2.13) распадается на уравнения

$$K_{10}(\eta_n) = 0, K_{20}(\eta_n) = 0, K_{30}(\eta_n) = 0 \quad (3.11)$$

Из них первые два – дисперсионные уравнения изгибных и планарных колебаний полубесконечной ортотропной пластинки со свободным краем ( $k = 2\pi n_0 / l$ ) или полубесконечной ортотропной пластинки-полосы со свободным торцом при наличии шарнирного закрепления на боковых краях ( $k = \pi / l$ ), соответственно [4,10]. Следовательно, при малых  $\varepsilon_n$  и больших  $n\beta_0$  приближенными значениями корней уравнения (2.13) являются корни уравнения (3.11).

**4. Асимптотика дисперсионного уравнения (2.13) при  $\beta_0 \rightarrow \infty$ .** При использовании предыдущих формул будем предполагать, что  $\chi_1, \chi_2, \chi_3$  и  $\chi_4$  (корни уравнения (2.4)) имеют отрицательные действительные части. Тогда уравнение (2.13) можно привести к виду

$$\text{Det} \|m_{ij}\|_{i,j=1}^8 = \left(\text{Det} \|m_{ij}\|_{i,j=1}^4\right)^2 + \sum_{j=1}^4 O(\exp(k\chi_j\beta_0)) = 0 \quad (4.1)$$

откуда следует, что при  $\beta_0 \rightarrow \infty$  уравнение (2.13) преобразуется в уравнение

$$\text{Det} \|m_{ij}\|_{i,j=1}^4 = 0 \quad (4.2)$$

Уравнение (4.2) при  $n \in N$  определяет частоты всевозможных локализованных собственных колебаний у свободной граничной образующей оболочечной конструкции, составленной из счетного числа одинаковых открытых ортотропных бесконечных цилиндрических оболочек ( $k = 2\pi n_0 / l$ ) или частоты всевозможных локализованных собственных колебаний у свободной граничной образующей оболочечной конструкции, составленной из счетного числа одинаковых ортотропных незамкнутых конечных цилиндрических оболочек ( $k = \pi / l$ ) при наличии шарнирного закрепления Навье на боковых краях. Если  $\varepsilon_n \rightarrow 0$ , то имеем [4,10]

$$\text{Det} \|m_{ij}\|_{i,j=1}^4 = \left(\frac{B_{22}}{B_{11}}\right)^2 N(\eta_n) K_{10}(\eta_n) K_{20}(\eta_n) K_{30}(\eta_n) + O(\varepsilon_n^2) \quad (4.3)$$

Учитывая формулы (4.1) и (4.3), еще раз убеждаемся в справедливости асимптотической формулы (3.10).

В табл. 1 приведены значения некоторых корней ( $\eta_n$ ) уравнения (3.9) с соответствующими коэффициентами затухания  $k\chi_0/n$  для пластинки из стеклопластика с механическими параметрами [13]

$$\rho = 2.4 \cdot 10^3 \text{ кг/М}^3, E_1 = 6.5 \cdot 9.8 \cdot 10^9 \text{ Н/М}^2, E_2 = 1.5 \cdot 9.8 \cdot 10^9, \\ G = 0.5 \cdot 9.8 \cdot 10^9, \nu_1 = 0.26, \nu_2 = 0.06 \quad (4.4)$$

при  $h=1/50, s=4; l=2s; k=\pi/l; \beta_0=5s, s$ . Численный анализ показывает, что у свободных граничных образующих пластинчатой тонкостенной конструкции могут появляться локализованные колебания. При  $n\beta_0 \rightarrow \infty$  частоты локализованных волн у свободных краев пластинчатой тонкостенной конструкции, составленной из бесконечных одинаковых пластин–полос и локализованных колебаний у свободных краев пластинчатой тонкостенной конструкции, составленной из одинаковых прямоугольных пластин при наличии шарнирного закрепления боковых краев, стремятся к частотам аналогичных задач для полубесконечной пластинки и полубесконечной пластинки–полосы соответственно. Существует зона волновых чисел:  $10 \leq n \leq 37$ , где третье уравнение из (3.11) не имеет действительных  $\eta_n$ -корней.

В табл. 2 приведены некоторые безразмерные характеристики собственных значений  $\eta/n$  и характеристики коэффициентов затухания соответствующих форм  $k\chi_0/n$  для тонкостенных конструкций оболочечного типа, изготовленных из стеклопластика с механическими параметрами (4.4) и геометрическими параметрами:  $R=40; r_0=0.1274, k=\pi/l, l=2s, h=1/50, s=4.00167$  при  $\beta_0=5s$  и  $\beta_0=s$ .

Отметим, что модули упругости  $E_1$  и  $E_2$  соответствуют направлениям вдоль образующей и направляющей, соответственно. В качестве характеристики коэффициентов затухания приведены значения следующих величин:

$$k\chi_0/n = \max\{k \operatorname{Re} \chi_1/n, k \operatorname{Re} \chi_2/n, k \operatorname{Re} \chi_3/n, k \operatorname{Re} \chi_4/n\}. \quad (4.5)$$

**Замечание 2.** В табл. 2 между характеристиками коэффициентов затухания и собственными частотами указан тип колебаний;  $b$  – преимущественно изгибный,  $e$  – преимущественно планарный и  $t$  – преимущественно крутильный.

В таблице 2 третья колонка соответствует задаче (1.1)-(1.2),(1.4). Четвертая колонка соответствует задаче (1.1)-(1.2),(1.4), в которой отсутствуют тангенциальные компоненты силы инерции, т.е. имеем преимущественно изгибный тип колебаний. Аналогично, пятая колонка соответствует преимущественно планарному типу, а шестая – преимущественно изгибно-крутильному типу. Отметим, что первые частоты собственных колебаний, локализованных у свободного края тонкостенной конструкции оболочечного типа, где присутствует нормальная компонента силы инерции, являются частотами колебаний преимущественно изгибного типа. Вычисления показывают, что рядом с первыми частотами колебания квазипоперечного типа существуют частоты незатухающих колебаний квазитангенциального типа. С увеличением  $n$  эти колебания становятся колебаниями релеевского типа.

Таблица 1

n	$\bar{E}_0(\eta_n)=0, \beta_0=s$	$\bar{F}_0(\eta_n)=0, \beta_0=5s$	$\bar{F}_0(\eta_n)=0, \beta_0=s$	$\bar{E}_0(\eta_n)=0, \beta_0=5s$	$K_{20}(\eta_n)=0$
	$k\chi_0/n \quad \eta/n$	$k\chi_0/n \quad \eta/n$	$k\chi_0/n \quad \eta/n$	$k\chi_0/n \quad \eta/n$	$\eta/n=0$
1	-0.0778 0.94366 -0.0149 0.99799	-0.0378 0.00822	-0.0680 0.00819	-0.0530 0.97432 -0.0200 0.99641	3.2114
2	-0.0670 0.95852 -0.0159 0.99771	-0.0278 0.01646	-0.0558 0.01641	-0.0447 0.98182 -0.0281 0.99285	3.2093
3	-0.0605 0.96630 -0.0171 0.99735	-0.0234 0.02470	-0.0473 0.02464	-0.0413 0.98448 -0.0337 0.98968	3.2057
4	-0.0562 0.97110 -0.0185 0.99692	-0.0209 0.03294	-0.0417 0.03288	-0.0397 0.98567 -0.0363 0.98806	3.2003
5	-0.0530 0.97432 -0.0199 0.99641	-0.0192 0.04118	-0.0378 0.04112	-0.0389 0.98624 -0.0373 0.98734	3.1924
9	-0.0457 0.98092 -0.0265 0.99363	-0.0160 0.07413 -0.0109 0.07417	-0.0291 0.07407	-0.0382 0.98673 -0.0381 0.98678	2.7088 3.0773
10	-0.0447 0.98182 -0.0281 0.99285	-0.0157 0.08236 -0.0121 0.08237	-0.0278 0.08230	-0.0382 0.98674 -0.0381 0.98677	- -
110	-0.0382 0.98676	-0.0144 0.90605	-0.0144 0.90605	-0.0382 0.98676	3.3658
120	-0.0382 0.98676 -0.0382 0.98676	-0.0144 0.90605 -0.0144 0.98842	-0.0144 0.90606 -0.0144 0.98842	-0.0382 0.98676 -0.0382 0.98676	3.6218 3.3651
130	-0.0382 0.98676 -0.0382 0.98676	-0.0144 1.07079 -0.0144 1.07079	-0.0144 1.07079 -0.0144 1.07079	-0.0382 0.98676 -0.0382 0.98676	3.6235 3.3645 3.6251

При  $\varepsilon_n \rightarrow 0$  собственные колебания для задач (1.1)-(1.3), (1.1)-(1.2), (1.4) расщепляются на квазипоперечные и квазитангенциальные колебания. При этом частоты этих задач стремятся к частотам аналогичных задач для пластинки-полосы и прямоугольной пластинки, соответственно. При увеличении  $n$  колебания квазипоперечного типа становятся незатухающими. Безразмерные характеристики  $\eta_n$  собственной частоты квазитангенциальных колебаний стремятся к корню уравнения Рэлея ( $K_{20}(\eta_n) = 0$ ) из (3.11). При  $n\beta_0 \rightarrow \infty$  частоты волн, локализованных у свободных граничных образующих тонкостенной конструкции оболочечного типа, составленной из одинаковых ортотропных незамкнутых бесконечных цилиндрических оболочек ( $k = 2\pi n_0/l$ ) и частоты колебаний, локализованных у свободных граничных образующих тонкостенной конструкции оболочечного типа, составленной из одинаковых ортотропных незамкнутых конечных цилиндрических оболочек ( $k = \pi/l$ ) при наличии шарнирного закрепления Навье на граничных направляющих, стремятся к частотам волн тонкостенной конструкции оболочечного типа, составленной из счетного числа одинаковых ортотропных незамкнутых бесконечных цилиндрических оболочек или частотам колебаний, локализованных у свободной образующей оболочечной конструкции, составленной из счетного числа одинаковых ортотропных незамкнутых конечных цилиндрических оболочек при наличии шарнирного закрепления Навье на боковых краях, соответственно.

Колебания преимущественно изгибно-крутильного типа ( $\eta_2 = \eta_3 = \eta, \eta_1 = 0$ ) при достаточно больших  $n$  расщепляются на квазипоперечные и преимущественно крутильные типы колебаний. При дальнейшем увеличении  $n$  колебания квазипоперечного типа становятся незатухающими (в таблицах параметры для незатухающих колебаний не приводятся).

Таблица 2

$\beta_0$	n	$\eta_1 = \eta_2 = \eta_3 = \eta$	$\eta_1 = \eta_2 = 0, \eta_3 = \eta$	$\eta_1 = \eta_2 = \eta, \eta_3 = 0$	$\eta_2 = \eta_3 = \eta, \eta_1 = 0$	
		$k\chi_0/n$ $\eta/n$	$k\chi_0/n$ $\eta/n$	$k\chi_0/n$ $\eta/n$	$k\chi_0/n$ $\eta/n$	
5s	1	-0.4047 b 0.01677 -0.4047 b 0.01678	-0.4048 b 0.01678 -0.4047 b 0.01679	-0.4009 e 0.68968 -0.4009 e 0.68983	-0.4047 b 0.01677 -0.4047 b 0.01678	
	2	-0.2773 b 0.02213 -0.2773 b 0.02213	-0.2773 b 0.02213 -0.2773 b 0.02214	-0.3672 e 0.89948 -0.3672 e 0.89948	-0.2773 b 0.02213 -0.2773 b 0.02213	
	3	-0.2199 b 0.02872 -0.2199 b 0.02872	-0.2200 b 0.02872 -0.2200 b 0.02872	-0.1204 e 0.96233 -0.1203 e 0.96257	-0.2199 b 0.02872 -0.2199 b 0.02872	
	4	-0.1871 b 0.03588 -0.1871 b 0.03588	-0.1872 b 0.03589 -0.1872 b 0.03589	-0.0649 e 0.97792 -0.0634 e 0.97896	-0.1871 b 0.03588 -0.1871 b 0.03588	
	5	-0.1664 b 0.04336 -0.1664 b 0.04336	-0.1665 b 0.04337 -0.1665 b 0.04337	-0.0496 e 0.98277 -0.0481 e 0.98380	-0.1664 b 0.04336 -0.1664 b 0.04336	
	9	-0.0629 b 0.07482 -0.0629 b 0.07482	-0.0628 b 0.07482 -0.0628 b 0.07482	-0.0392 e 0.98637 -0.0391 e 0.98647	-0.0629 b 0.07482 -0.0629 b 0.07482	
	10	-0.0462 b 0.08289 -0.0462 b 0.08289	-0.0461 b 0.08289 -0.0461 b 0.08289	-0.0389 e 0.98651 -0.0388 e 0.98656	-0.0462 b 0.08289 -0.0462 b 0.08289	
	110	-0.0144 b 0.90568 -0.0144 b 0.90568	-0.0144 b 0.90568 -0.0144 b 0.90568	-0.0382 e 0.98676 -0.0382 e 0.98676	-0.0144 b 0.90568 -0.0144 b 0.90568	
	120	-0.0382 e 0.98676 -0.0382 e 0.98676	-- --	-0.0382 e 0.98676 -0.0382 e 0.98676	-0.0207 t 0.98771 -0.0207 t 0.98771	
	130	-0.0144 b 0.98802 -0.0144 b 0.98802	-0.0144 b 0.98801 -0.0144 b 0.98801	-- --	-0.0144 b 0.98802 -0.0144 b 0.98802	
			-0.0382 e 0.98676 -0.0382 e 0.98676	-0.0144 b 1.07034 -0.0144 b 1.07034	-0.0382 e 0.98676 -0.0382 e 0.98676	-0.0366 t 0.98772 -0.0366 t 0.98772
	s	1	-0.4273 b 0.01400 -0.4002 b 0.01728	-0.4273 b 0.01400 -0.4002 b 0.01728	-- --	-0.4273 b 0.01400 -0.4002 b 0.01728
		2	-0.2914 b 0.02085 -0.2585 b 0.02368	-0.2914 b 0.02085 -0.2585 b 0.02368	-0.3699 e 0.91898	-0.2914 b 0.02085 -0.2585 b 0.02368
		3	-0.2288 b 0.02812 -0.2082 b 0.02949	-0.2288 b 0.02812 -0.2082 b 0.02949	-0.1647 e 0.93009	-0.2288 b 0.02812 -0.2082 b 0.02949
		4	-0.1920 b 0.03562 -0.1813 b 0.03619	-0.1921 b 0.03562 -0.1814 b 0.03619	-0.0987 e 0.94855	-0.1920 b 0.03562 -0.1813 b 0.03619
		5	-0.1678 b 0.04330 -0.1651 b 0.04342	-0.1678 b 0.04331 -0.1652 b 0.04342	-0.0764 e 0.95867	-0.1678 b 0.04330 -0.1651 b 0.04342
9		-0.0750 b 0.07469 -0.0223 b 0.07509	-0.0748 b 0.07469 -0.0219 b 0.07509	-0.0529 e 0.97506	-0.0750 b 0.07469 -0.0223 b 0.07509	
10		-0.0576 b 0.08277 -0.0576 b 0.08277	-0.0575 b 0.08277 -0.0575 b 0.08277	-0.0507 e 0.97696	-0.0576 b 0.08277 -0.0003 b 0.08309	
110		-0.0144 b 0.90567 -0.0144 b 0.90567	-0.0144 b 0.90567 -0.0144 b 0.90567	-0.0382 e 0.98676 -0.0382 e 0.98676	-0.0144 b 0.90567 -0.0144 b 0.90567	
120		-0.0382 e 0.98676 -0.0382 e 0.98676	-- --	-0.0382 e 0.98676 -0.0382 e 0.98676	-0.0207 t 0.98771 -0.0207 t 0.98771	
130		-0.0144 b 0.98801 -0.0144 b 0.98801	-0.0144 b 0.98801 -0.0144 b 0.98801	-- --	-0.0144 b 0.98802 -0.0144 b 0.98802	
			-0.0382 e 0.98676 -0.0382 e 0.98676	-0.0144 b 1.07034 -0.0144 b 1.07034	-0.0382 e 0.98676 -0.0382 e 0.98676	-0.0366 t 0.98772 -0.0366 t 0.98772

Численный анализ показывает, что процесс затухания зависит от типа колебаний, от геометрических и физических параметров конструкции: колебания квазипоперечного типа, в основном, затухают медленнее, чем остальные типы колебаний.

#### ЛИТЕРАТУРА

1. Гринченко В.Т., Мелешко В.В. Гармонические колебания и волны в упругих телах. Киев: Наукова думка, 1981. 284с.
2. Гринченко В.Т. Эффекты локализации волновых движений в упругих волноводах // Прикл. мех. 2005. Т. 41. № 9. С.38-45.
3. Kaplunov J.D., Kossovich L.Yu., Wilde M.V. Free localajzed vibrations of a semi-infinite cylindrical shell // J. Acoust. Soc. America. 2000. V. 107. № 3. P. 1383-1393.
4. Гулгазарян Г.Р. О волнах, локализованных у образующей полубесконечной ортотропной гофрированной тонкой упругой цилиндрической оболочки // Вестник Нижегородского университета им. Н.И. Лобачевского. Серия механика. Вып. 1(5). 2003. С. 23-31.
5. Гулгазарян Г.Р. О локализованных собственных колебаниях у свободного торца полубесконечной замкнутой цилиндрической оболочки // Изв. РАН. МТТ. 2003. №1. С. 180-192.
6. Gulgazaryan G.R. Vibrations of a semi-infinite, orthotropic, cylindrical shells of open profile // Appl. Mech. 2004, Vol. 40. №2, P. 199-212.
7. Гулгазарян Г.Р., Гулгазарян Л.Г. О колебаниях тонкой упругой ортотропной цилиндрической оболочки со свободными краями // Проблемы прочности и пластичности, 2006. Вып. 68. С. 150-160
8. Григоренко Я.М., Беспалова Е.И., Китайгородский А.Б., Шинкар А.И. Свободные колебания элементов оболочечных конструкций. Киев: Наукова думка, 1986. 170с.
9. Гулгазарян Г.Р., Гулгазарян Л.Г. Колебания ортотропной гофрированной цилиндрической оболочки со свободными краями. // Прикл. мех. 2006. Т. 42. № 12. С.97-114.
10. Гулгазарян Г.Р. Волны у образующей полубесконечной ортотропной гофрированной тонкой упругой цилиндрической оболочки // В сб.: "Математический анализ и его приложения." Ереван: 2003. Вып.3. С.41-93.
11. Амбарцумян С.А. Общая теория анизотропных оболочек. М.: Наука, 1974. 446с.
12. Гольденвейзер А.Л., Лидский В.Б., Товстик П.Е. Свободные колебания тонких упругих оболочек. М.: Наука, 1979. 383с.
13. Гулгазарян Г.Р., Лидский В.Б. Плотность частот свободных колебаний тонкой анизотропной оболочки, составленной из анизотропных слоев. // Изв. АН СССР. МТТ. 1982. №3. С.171-174.

Институт механики НАН Армении  
Аргоспедуниверситет им. Х. Абовяна

Поступила в редакцию  
17.09.2007